

# Synthese von basisch substituierten 5H-Pyrimido[4,5-c]-2-benzazepinen

Reinhard Troschütz\* und Lothar Grün

Institut für Pharmazie und Lebensmittelchemie der Universität Erlangen-Nürnberg, Schuhstr. 19, D-91052 Erlangen

Eingegangen am 21. Oktober 1992

Die potentiell ZNS-wirksamen Titelverbindungen **19a-c** lassen sich durch eine neunstufige Synthese ausgehend von Phthalaldehydsäure herstellen. Durch Knoevenagel-Kondensation von **5** mit den Acetonitrilen **2a-g** und folgender Reduktion mit NaBH<sub>4</sub> erhält man die Dihydrozimtsäurenitrile **3**. Nur **3a** lässt sich zu den 2-Benzazepinnitriilen **9a,b** cyclisieren. Ammonolyse von **9a** führt zum Enaminonitril **10**, das mit den Orthoestern **11a-c** die Imidsäureester **12a-c** gibt. Nachfolgende Ammonolyse liefert die Tricyclen **16a,b**. Nach Umwandlung der Lactamfunktion von **16** in das Imidoylchlorid **17** folgt Aminolyse mit den Aminen **18a-c** zu den Titelverbindungen **19a-c**.

Im Rahmen der Synthese von rigiden Trimethoprim-Analoga<sup>1)</sup> wurde ein variationsfähiger Weg zu 5H-Pyrimido[4,5-c]-2-benzazepin-2,4-diaminen gefunden. Diese Verbindungen kann man als Diazaanaloga von Dibenz[b,e]azepinen auffassen. Aus dieser Strukturbetrachtung entstand die Problemstellung: Darstellung von potentiell ZNS-aktiven Aza- bzw. Diazaanaloga von pharmakologisch aktiven Dibenz[b,e]azepinen. Zwei aktuelle Vertreter dieses Ringsystems sind das in Japan gehandelte Hypnoticum Perlapijn oder das antidepressiv wirksame Fluperlapin<sup>2)</sup>.

Ein neueres Beispiel für den Austausch einer Methingruppe gegen Stickstoff ist das Metirzapin<sup>3)</sup>, ein Azaloges des Antidepressivums Mianserin.

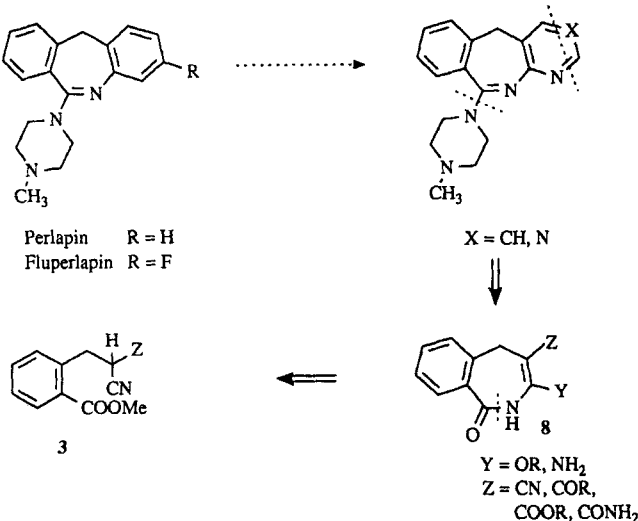
Zur Darstellung der Titelverbindungen, die Diazaanaloga des Perlapijn darstellen, sollten sich, wie retrosynthetische

## Synthesis of Basically Substituted 5H-Pyrimido[4,5-c]-2-benzazepines

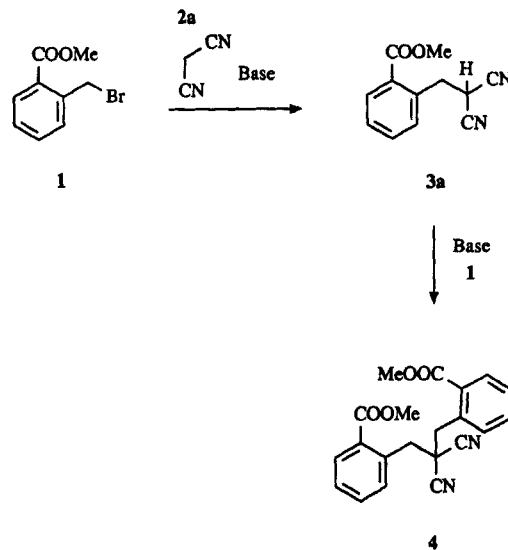
The potentially CNS-active title compounds **19a-c** can be prepared by a nine step synthesis beginning with phthalaldehydic acid. Knoevenagel condensation of **5** with the acetonitriles **2a-g** and subsequent reduction with NaBH<sub>4</sub> lead to the dihydrocinnamic acid nitriles **3**. Only **3a** can be cyclized to the 2-Benzazepinnitriiles **9a,b**. Ammonolysis of **9a** yields the enaminonitrile **10**, which is reacted with the orthoesters **11a-c** to the imidic acid esters **12a-c**. Ammonolysis leads to the tricycles **16a,b**. After transformation of the lactam group in **16** to an imidoyl chloride **17**, aminolysis with the amines **18a-c** provides the title compounds **19a-c**.

Betrachtungen zeigten, 3,4-funktionale 2-Benzazepin-1-one wie **8** eignen. Sie selbst könnten durch Cyclisierung von geeigneten Dihydrozimtsäurenitrilen vom Typ **3** zugänglich sein (Schema 1).

Den ersten Vertreter (**3a**) der Dihydrozimtsäurenitrile wollten wir durch Monoalkylierung von Malononitril (**2a**) mit 2-Brommethylbenzoësäuremethylester<sup>4)</sup> (**1**) herstellen. Selbst bei Variation der Base (NaOEt, KOBu<sup>t</sup>, NaH) und der Menge an Malononitril (**2a**) (1-5facher Überschuss) gelang es nicht, die Dialkylierung zu **4** zu unterdrücken. In Anlehnung an Taylor *et al.*<sup>5)</sup> (NaH, DMSO) erhielten wir in unbefriedigender Ausbeute (max. 25%) das gewünschte



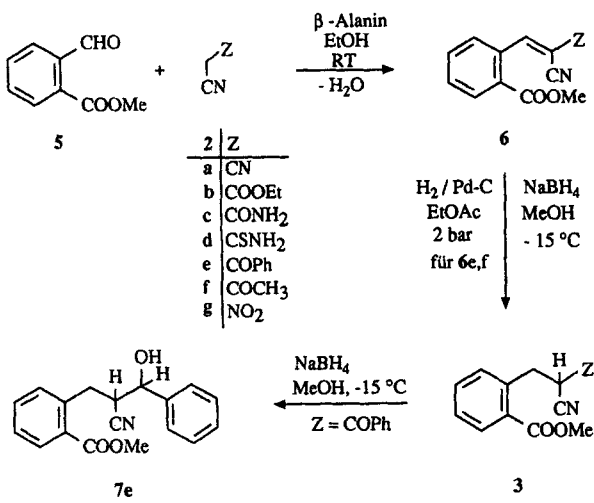
Schema 1



Schema 2

Monobenzylprodukt **3a**, während beim Arbeiten mit Alkoholaten dieses nur in geringsten Ausbeuten (< 5%) anfiel. Neuere Arbeiten von Diez-Barra et al.<sup>6)</sup> bestätigen den Befund, daß Malononitril (**2a**) sich nicht problemlos monobenzylieren läßt, sondern überwiegend ein Dibenzyllderivat ergibt.

Um eine Monobenzylierung von Malononitril (**2a**) zu erreichen, wählten wir den Umweg über das Benzylidenderivat **6a**, das durch Knoevenagel-Kondensation von Phthalaldehydsäuremethylester<sup>7)</sup> (**5**) mit Malononitril (**2a**) und Piperidin in siedendem Ethanol hergestellt worden war<sup>8)</sup>. Wir konnten unter Verwendung von  $\beta$ -Alanin als Katalysator schon bei Raumtemp. in ethanolischer Lösung eine ausgezeichnete Ausb. an **6a** erzielen.



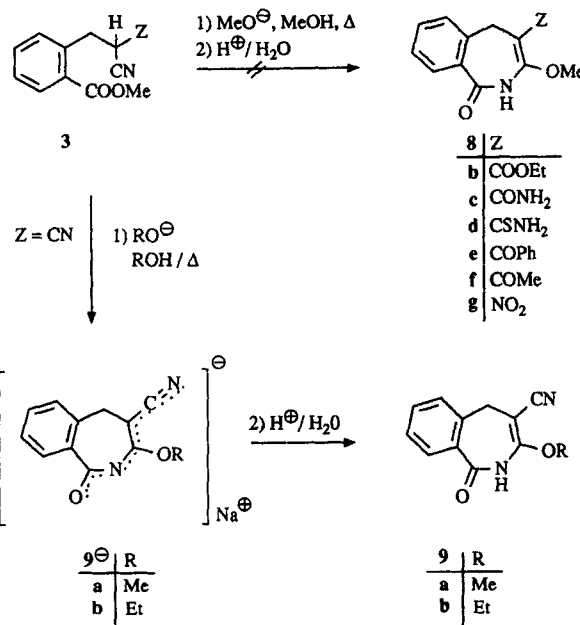
Schema 3

Analoge Kondensationen von **5** mit den Acetonitril-Derivaten **2b-g** führten in guten Ausb. zu den *o*-Methoxycarbonylzimtsäurenitrilen **6**.

Das Vorliegen von **6** in der angegebenen *E*-Form konnten wir über die Größe der beispielhaft an **6b,c** und **f** gemessenen  $^3J_{C/H}$ -Kopplung zwischen Nitril-C und  $\beta$ -H-Atom beweisen. Die Werte von ca. 14 Hz stimmen gut mit den von Gregory et al.<sup>9)</sup> für derartige Strukturen ermittelten Werten überein.

Die für den Synthesefortgang notwendige Hydrierung der Benzyliden-Doppelbindung in **6** wurde in Anlehnung an Fuentes et al.<sup>10)</sup> mit  $\text{NaBH}_4$  in Methanol bei  $-15^\circ\text{C}$  in guten Ausb. erreicht. Bei Verbindung **6e** wurde bei dieser Arbeitsweise zusätzlich die Ketogruppe zum Alkohol unter Bildung von **7e** reduziert. Diese unerwünschte Reaktion konnte bei der alternativ vorgenommenen katalytischen Hydrierung von **6e,f** zu **3e,f** vermieden werden.

Durch Erhitzen von **3a** in frisch zubereitetem Natriummethylat in Methanol erfolgte intramolekulare Cyclisierung<sup>10,11)</sup> zu dem 2-Benzazepin-Salz **9a**<sup>-</sup>, das mit verd.  $\text{H}_2\text{SO}_4$  **9a** gab. Eine Umsetzung von **3a** mit Natriumethylat in siedendem Ethanol führte nach saurer Aufarbeitung zu **9b**.



Schema 4

Die Beteiligung der Carbonyl- und Nitrilgruppe an der Resonanz im Salz **9a**<sup>-</sup> läßt sich durch Vergleich der  $^{13}\text{C}$ -NMR-Verschiebungswerte mit den Werten der beteiligten C-Atome in **9a** beweisen.

Die geplante analoge Cyclisierung der Benzylacetonitrile **3b-g** zu den in Position 4 funktionalisierten 2-Benzazepinen **8b-g** gelang trotz Variation von Alkoholat, Reaktionszeit und Temp. bisher nicht. Offensichtlich besitzt nur die Nitrilgruppe in dem Malononitril-Derivat **3a** eine genügende Reaktivität, um ein intermediäres Imidesteranion<sup>1)</sup> zu bilden, das dann mit der Estergruppe zu **9a**<sup>-</sup> ringschließt.

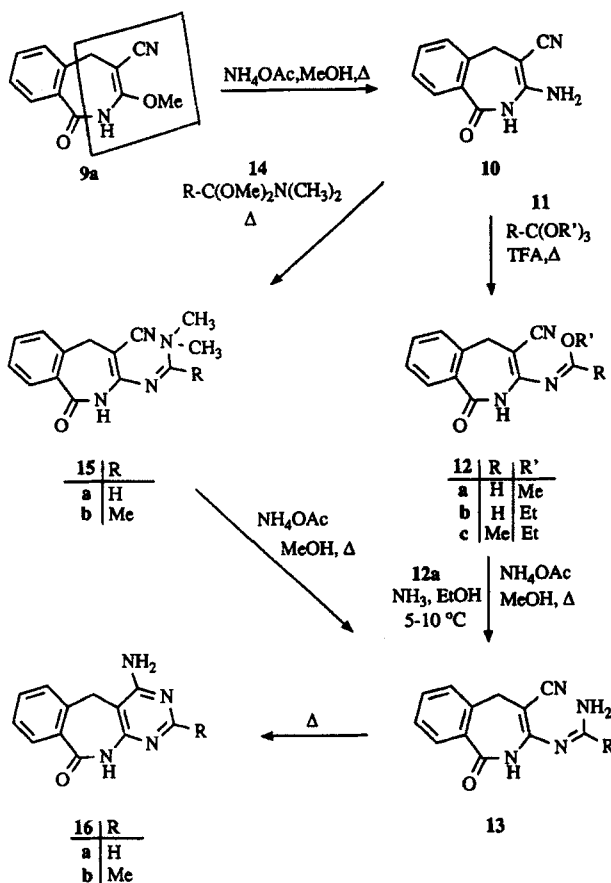
Auch die Umwandlungen der Nitrilgruppe von **3b-g** in eine Imidesterfunktion nach Pinner (ROH, HCl,  $0^\circ\text{C}$ ) führten nicht zum Erfolg, vielmehr erhielt man jeweils "gällertartige Gemische", die sich an der Luft rasch zersetzen. Ein intermediär gebildeter Imidsäureester sollte aus der tautomeren Enaminform intramolekular zum 2-Benzazepin cyclisieren.

Im Molekül von **9a** ist eine reaktive Cyanketen-*O,N*-acetalstruktur enthalten, die wir für die geplante Anellierung eines Pyrimidinringes nützen wollten.

So erhielten wir beim Erhitzen von **9a** mit Ammoniumacetat als Ammoniakquelle in Methanol das 2-Benzazepinenaminonitril **10**, das wir mit den Orthoameisensäure-estern **11a,b** bzw. dem Orthoessigsäureester **11c** zu den Imidsäureestern **12a-c** umsetzten. Durch Zusatz von katalytischen Mengen an Trifluoressigsäure (TFA) konnten die Ausb. an **12** auf über 90% gesteigert werden. Die schonende Ammonolyse des Imidesters **12a** bei  $5-10^\circ\text{C}$  in ammo-niakgesättigtem Ethanol führte zum Amidin **13a**, das bereits beim Umkristallisieren aus Ethanol zum Aminopyrimidin **16a** cyclisierte. Ohne Isolierung des Amidins **13a** gelangte man auch durch Erhitzen der Imidsäureester **12a,b** mit Ammoni-

umacetat in Methanol zum Pyrimidin **16a**. Aus **12c** erhielt man analog **16b**.

Alternativ setzten wir auch **10** mit Dimethylformamiddimethylacetal (DMF-DMA) (**14a**) bzw. Dimethylacetamidodimethylacetal (DMA-DMA) (**14b**) zu den Amidinen **15a,b** um, die beim Erhitzen mit Ammoniumacetat in Methanol, *via* **13** direkt zu **16a** bzw. **b** cyclisierten.

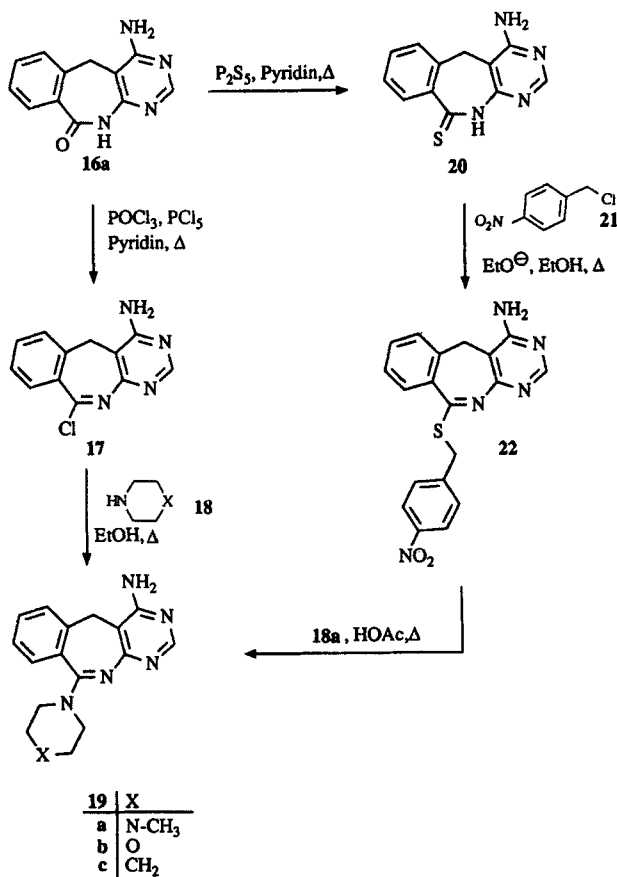


Schema 5

Zur Anknüpfung eines *N*-Methylpiperazinrestes an C-10 des Tricyclus aktivierten wir die Lactamfunktion von **16** durch Umsetzung mit  $\text{POCl}_3$ ,  $\text{PCl}_5$  und einigen Tr. Pyridin in der Siedehitze zum Imidoylchlorid **17**. Versuche mit  $\text{POCl}_3$  oder  $\text{PCl}_5$  und dem üblicherweise verwendeten *N,N*-Dimethylanilin brachten keine Umsetzung. Die Aminolyse des Imidoylchlorids **17** mit den cycloaliphatischen Aminen **18a-c** gelang sodann problemlos durch Erhitzen in Ethanol.

Alternativ ließ sich die Zielverbindung 4-Aminodiazepam (19a) auch in Anlehnung an Hunziker *et al.*<sup>12)</sup> darstellen: Hierzu überführten wir **16a** in das Thiolactam **20**, das nach Alkylierung mit *p*-Nitrobenzylchlorid (**21**) den aktivierte Thiolactimether **22** gab. Seine Aminolyse mit *N*-Methylpiperazin (**18a**) führte ebenfalls zur Zielverbindung **19a**.

Verbindung **19a** wurde aufgrund der vermuteten ZNS-Wirksamkeit in einer Reihe von Screening-Modellen geprüft. Auf antidepressive Wirkungsamkeit wurde im "tail



Schema 6

suspension test"<sup>13)</sup> geprüft, außerdem durch Prüfung der Umkehr von Reserpin-Wirkungen<sup>14)</sup> und die Beurteilung der Beeinflussung der Motilität<sup>15)</sup>. Als Referenzsubstanz diente Imipramin. Die Substanz erwies sich als inaktiv.

Der Asta Medica AG, Frankfurt, danken wir für die pharmakologischen Untersuchungen und der Deutschen Forschungsgemeinschaft, Bonn-Bad Godesberg, für finanzielle Unterstützung.

## Experimenteller Teil

Allgemeine Angaben: Schmp.: Büchi 530 (nicht korr.).- IR: Perkin-Elmer 1740 (FT-IR).- UV: Perkin-Elmer Lambda 5.-  $^1\text{H}$ -NMR- und  $^{13}\text{C}$ -NMR: Jeol FX 90Q; Jeol GX 400; Bruker BZH 360/52; Bruker AC 250.- MS: Finnigan 4500; Finnigan TSQ 70.- Elementaranalysen: Heraus CHN-Rapid, Institut für Organische Chemie der Universität Erlangen-Nürnberg.

### 2-Methoxycarbonyl- $\alpha$ -cyano- $\alpha$ -(2-methoxycarbonylbenzyl)dihydrozimtsäurenitril (4)

2.29 g (10 mmol) 2-Brommethylbenzoësäuremethylester<sup>4)</sup> (**1**) werden zu einer Lösung von 1.12 g (10 mmol) Kalium-tert-butylat und 3.30 g (50 mmol) Malononitril (**2a**) in 10 ml DMSO unter Röhren langsam zugeropft. Nach 3 h versetzt man mit 50 ml Wasser und bewahrt den Ansatz über Nacht bei +2°C auf. Der gebildete klebrige Bodensatz wird abfiltriert, mit 10 ml MeOH/H<sub>2</sub>O (7 + 3) 15 min unter Rückfluß erhitzt und anschließend zur Kristallisation bei +2°C aufbewahrt.- Ausb. 0.54 g (26%) farblose Kristalle.- Schmp. 126-127°C (EtOH).-  $\text{C}_{21}\text{H}_{18}\text{N}_2\text{O}_4$  (362.4) Ber.

C 69.6 H 5.01 N 7.7 Gef. C 69.5 H 5.08 N 7.7.- IR (KBr): 3024 (Ar); 2958; 2924 (Me; CH<sub>2</sub>); 2249 (CN; schwach); 1669 cm<sup>-1</sup> (COOME).- UV (MeOH):  $\lambda_{\text{max}}$  (lg  $\epsilon$ ) = 227 (4.25), 276 nm (3.42).- <sup>1</sup>H-NMR (CDCl<sub>3</sub>):  $\delta$  (ppm) = 8.15-8.01 (m; 2H, 3-H, 3'-H), 7.61-7.35 (m; 6H, 4-H, 5-H, 6-H, 4'-H, 5'-H, 6'-H), 3.98 (s; 4H,  $\beta$ -H,  $\beta'$ -H), 3.91 (s; 6H, 2x OMe).- MS (70 eV): m/z (rel. Int.) = 362 (5; M<sup>+</sup>), 150 (100).

#### (E)-2-Methoxycarbonyl- $\alpha$ -cyanoimtsäurenitril (6a)

1.64 g (10 mmol) Phthalaldehydsäuremethylester<sup>7)</sup> (5) und 0.66 g (10 mmol) Malononitril (2a) werden in 10 ml Ethanol gelöst und unter Rühren mit 25 mg  $\beta$ -Alanin versetzt. Nach 2-3 h saugt man den farblosen Niederschlag ab, wäscht mit wenig kaltem Ethanol nach und kristallisiert aus Ethanol.- Ausb. 1.82 g (86%) farblose Kristalle.- Schmp. 85-86°C (EtOH); 85-86°C (EtOH)<sup>8)</sup>.- IR (KBr): 3073 (Ar); 2965; 2915; 2851 (Me); 2235 (CN); 1702 cm<sup>-1</sup> (COOME).- UV (MeOH):  $\lambda_{\text{max}}$  (lg  $\epsilon$ ) = 288 (4.14), 233 (sh; 4.18), 220 (4.23); Säureshift 301 (sh; 3.69), 282 (3.78), 228 nm (4.09).- <sup>1</sup>H-NMR (CDCl<sub>3</sub>):  $\delta$  (ppm) = 8.72 (s; 1H,  $\beta$ -H), 8.21-8.11 (m; 1H, 3-H), 7.78-7.62 (m; 3H, 4-H, 5-H, 6-H), 3.96 (s; 3H, OMe).- MS (70 eV): m/z (rel. Int.) = 212 (68; M<sup>+</sup>), 181 (100; M - OMe)<sup>+</sup>.

#### (E)-2-Methoxycarbonyl- $\alpha$ -cyanoimtsäureethylester (6b)

Darstellung analog 6a aus 1.64 g (10 mmol) 5 und 1.13 g (10 mmol) Cyanessigsäureethylester (2b).- Ausb. 2.15 g (83%) farblose Kristalle.- Schmp. 102-103°C (EtOH).- C<sub>14</sub>H<sub>10</sub>NO<sub>4</sub> (259.3) Ber. C 64.8 H 5.05 N 5.4 Gef. C 64.8 H 4.65 N 5.4.- IR (KBr): 3061 (Ar); 2957; 2937; 2849 (Me; Et); 2227 (CN); 1739 (COOEt); 1719 cm<sup>-1</sup> (COOME).- UV (MeOH):  $\lambda_{\text{max}}$  (lg  $\epsilon$ ) = 287 (4.17), 230 (sh; 4.25), 218 (4.29); Säureshift 282 (4.01), 228 (4.17); Basenshift 233 nm (4.32).- <sup>1</sup>H-NMR (CDCl<sub>3</sub>):  $\delta$  (ppm) = 9.00 (s; 1H,  $\beta$ -H), 8.17-8.07 (m; 1H, 3-H), 7.83-7.55 (m; 3H, 4-H, 5-H, 6-H), 4.40 (q, J = 7.0 Hz; 2H, OCH<sub>2</sub>), 3.94 (s; 3H, OMe), 1.41 (t, J = 7.0 Hz; 3H, CH<sub>3</sub>).- <sup>13</sup>C-NMR (CDCl<sub>3</sub>):  $\delta$  (ppm) = 166.2 (COOME), 161.7 (COOEt), 157.0 ( $\beta$ -C), 133.7 (C-1), 132.9 (C-5), 131.2 (C-4), 131.1 (C-3), 129.6 (C-2), 129.5 (C-6), 114.6 (CN), 106.5 ( $\alpha$ -C), 62.7 (OCH<sub>2</sub>), 52.6 (OCH<sub>3</sub>), 14.1 (CH<sub>3</sub>).- MS (70 eV): m/z (rel. Int.) = 259 (20; M<sup>+</sup>), 186 (100; M - COOEt)<sup>+</sup>.

#### (E)-2-Methoxycarbonyl- $\alpha$ -cyanoimtsäureamid (6c)

Darstellung analog 6a aus 1.64 g (10 mmol) 5 und 0.84 g (10 mmol) Cyanacetamid (2c).- Ausb. 1.81 g (79%) farblose Kristalle.- Schmp. 172-173°C (EtOH).- C<sub>12</sub>H<sub>10</sub>N<sub>2</sub>O<sub>3</sub> (230.2) Ber. C 62.6 H 4.37 N 12.2 Gef. C 62.8 H 4.35 N 12.2.- IR (KBr): 3409; 3316; 3176 (NH<sub>2</sub>); 3078 (Ar); 2957 (Me); 2220 (CN); 1722 (COOME); 1712; 1703; 1682; 1604 (CONH<sub>2</sub>) cm<sup>-1</sup>.- UV (MeOH):  $\lambda_{\text{max}}$  (lg  $\epsilon$ ) = 279 (4.00), 220 (4.17); Basenshift 279 (4.09), 232 nm (sh; 4.22).- <sup>1</sup>H-NMR (CDCl<sub>3</sub>):  $\delta$  (ppm) = 9.01 (s; 1H,  $\beta$ -H), 8.17-8.07 (m; 1H, 3-H), 7.83-7.55 (m; 3H, 4-H, 5-H, 6-H), 6.2 (s, br; 2H, NH<sub>2</sub>, D<sub>2</sub>O-Austausch), 3.94 (s; 3H, OMe).- <sup>13</sup>C-NMR (CDCl<sub>3</sub>):  $\delta$  (ppm) = 166.3 (COOME), 161.4 (CONH<sub>2</sub>), 155.9 ( $\beta$ -C), 134.0 (C-1), 132.9 (C-5), 131.2 (C-4), 131.1 (C-3), 129.9 (C-2), 129.3 (C-6), 116.1 (CN), 106.9 ( $\alpha$ -C), 52.7 (OCH<sub>3</sub>).- MS (70 eV): m/z (rel. Int.) = 230 (3; M<sup>+</sup>), 171 (100; M - COOME)<sup>+</sup>.

#### (E)-2-Methoxycarbonyl- $\alpha$ -cyanothioimtsäureamid (6d)

Darstellung analog 6a aus 1.64 g (10 mmol) 5 und 1.00 g (10 mmol)  $\alpha$ -Cyanthioacetamid (2d) in 20 ml Ethanol.- Ausb. 2.10 g (85%) orangefarbene Kristalle.- Schmp. 170-171°C (EtOH).- C<sub>12</sub>H<sub>10</sub>N<sub>2</sub>O<sub>2</sub>S (246.3) Ber. C 58.5 H 4.09 N 11.3 Gef. C 58.5 H 4.06 N 11.3.- IR (KBr): 3433; 3318; 3210 (NH<sub>2</sub>); 3049 (Ar); 2958; 2926 (Me); 2213 (CN); 1705 (COOME); 1630; 1621 cm<sup>-1</sup> (CSNH<sub>2</sub>).- UV (MeOH):  $\lambda_{\text{max}}$  (lg  $\epsilon$ ) = 279 (4.24), 249 (sh; 4.28), 237 (sh; 4.32); Säureshift 301 (4.26), 235 (4.29), 264 (sh; 4.20); Basenshift 298 nm (4.34).- <sup>1</sup>H-NMR (CDCl<sub>3</sub>):  $\delta$  (ppm) = 9.34 (s; 1H,  $\beta$ -

H), 8.20-8.09 (m; 1H, 3-H), 7.77-7.56 (m; 3H, 4-H, 5-H, 6-H), 3.95 (s; 3H, OMe).- MS (70 eV): m/z (rel. Int.) = 246 (3; M<sup>++</sup>), 187 (100; M - COOME)<sup>+</sup>.

#### (E)-2-Methoxycarbonyl- $\alpha$ -benzoylzimtsäurenitril (6e)

Darstellung analog 6a aus 1.64 g (10 mmol) 5 und 1.45 g (10 mmol) Benzoylacetonitril (2e) in 20 ml Ethanol.- Ausb. 1.80 g (62%) farblose Kristalle.- Schmp. 128-129°C (EtOH).- C<sub>18</sub>H<sub>13</sub>NO<sub>3</sub> (291.3) Ber. C 74.2 H 4.50 N 4.8 Gef. C 74.2 H 4.65 N 4.8.- IR (KBr): 3063 (Ar); 2960; 2855 (Me); 2230 (CN); 1709 (COOME); cm<sup>-1</sup> 1665 (C=O).- UV (MeOH):  $\lambda_{\text{max}}$  (lg  $\epsilon$ ) = 287 (4.09), 238 (sh; 4.10), 218 nm (sh; 4.20).- <sup>1</sup>H-NMR (CDCl<sub>3</sub>):  $\delta$  (ppm) = 8.72 (s; 1H,  $\beta$ -H), 8.18-7.46 (m; 9H, aromat.), 3.92 (s; 3H, OMe).- MS (70 eV): m/z (rel. Int.) = 291 (4; M<sup>++</sup>), 232 (100; M - COOME)<sup>+</sup>.

#### (E)-2-Methoxycarbonyl- $\alpha$ -acetylzimtsäurenitril (6f)

1.05 g (10 mmol) Cyanaceton-Natriumsalz<sup>16)</sup> (6fNa) werden in 50 ml Wasser gelöst, 50 ml Chloroform zugesetzt, und anschließend wird unter kräftigem Rühren konz. HCl bis pH 1 zugetropft. Man trennt die org. Phase ab, extrahiert die wäßrige Phase noch 2 x mit je 25 ml Chloroform und trocknet die vereinigten org. Phasen über Na<sub>2</sub>SO<sub>4</sub>. Nach dem Einen i.Vak. wird der Rückstand in 10 ml Ethanol aufgenommen und mit 1.64 g (10 mmol) 5 und 25 mg  $\beta$ -Alanin versetzt. Nach 3 h gibt man bis zur beginnenden Trübung Wasser zu (ca. 2.5 ml) und läßt die trübe Lösung bei +2°C über Nacht stehen. Die gebildeten Nadeln werden abgesaugt, mit wenig kaltem Methanol gewaschen und aus Methanol umkristallisiert.- Ausb. 0.87 g (40%) farblose Kristallnadeln.- Schmp. 114-115°C (MeOH).- C<sub>13</sub>H<sub>11</sub>NO<sub>3</sub> (229.2) Ber. C 68.1 H 4.84 N 6.1 Gef. C 68.2 H 4.86 N 6.1.- IR (KBr): 3066 (Ar); 2958; 2852 (Me; CH<sub>3</sub>); 2220 (CN); 1713 (COOME); 1708 cm<sup>-1</sup> (C=O).- UV (MeOH):  $\lambda_{\text{max}}$  (lg  $\epsilon$ ) = 287 (3.99), 231 (sh; 4.04), 221 (4.07); Basenshift 258 nm (4.21).- <sup>1</sup>H-NMR (CDCl<sub>3</sub>):  $\delta$  (ppm) = 8.90 (s; 1H,  $\beta$ -H), 8.18-8.08 (m; 1H, 3-H), 7.89-7.57 (m; 3H, 4-H, 5-H, 6-H), 3.94 (s; 3H, OMe), 2.59 (s; 3H, CH<sub>3</sub>).- <sup>13</sup>C-NMR (CDCl<sub>3</sub>):  $\delta$  (ppm) = 191.2 (COCH<sub>3</sub>), 166.3 (COOME), 155.0 ( $\beta$ -C), 133.9 (C-1), 133.0 (C-5), 131.4 (C-4), 131.2 (C-3), 129.7 (C-2), 129.4 (C-6), 115.8 (CN), 113.9 ( $\alpha$ -C), 52.6 (OCH<sub>3</sub>), 27.4 (CH<sub>3</sub>).- MS (70 eV): m/z (rel. Int.) = 229 (3; M<sup>++</sup>), 186 (100; M - COCH<sub>3</sub>)<sup>+</sup>.

#### (E)-2-Methoxycarbonyl- $\alpha$ -nitrozimtsäurenitril (6g)

Darstellung analog 6a aus 1.64 g (10 mmol) 5 und 0.86 g (10 mmol) Nitroacetonitril<sup>17)</sup> (2g) in 15 ml Ethanol.- Ausb. 1.24 g (53%) hellgelbe Kristalle.- Schmp. 117-118°C (EtOH).- C<sub>11</sub>H<sub>8</sub>N<sub>2</sub>O<sub>4</sub> (232.2) Ber. C 56.7 H 3.47 N 12.0 Gef. C 56.8 H 3.65 N 12.0.- IR (KBr): 3054 (Ar); 2961; 2866 (Me); 2238 (CN); 1697 (COOME); 1543 (NO<sub>2</sub>) cm<sup>-1</sup>.- UV (MeOH):  $\lambda_{\text{max}}$  (lg  $\epsilon$ ) = 303 (4.05), 223 (sh; 4.07); Säureshift 312 (3.66), 289 nm (sh; 3.61).- <sup>1</sup>H-NMR (CDCl<sub>3</sub>):  $\delta$  (ppm) = 9.49 (s; 1H,  $\beta$ -H), 8.25-8.15 (m; 1H, 3-H), 7.90-7.67 (m; 3H, 4-H, 5-H, 6-H), 3.98 (s; 3H, OMe).- <sup>13</sup>C-NMR (CDCl<sub>3</sub>):  $\delta$  (ppm) = 166.0 (COOME), 150.5 ( $\beta$ -C), 133.4 (C-1), 132.9 (C-5), 131.6 (C-4), 130.3 (C-3), 129.6 (C-2), 129.5 (C-6), 125.4 ( $\alpha$ -C), 110.0 (CN), 53.0 (OCH<sub>3</sub>).- MS (70 eV): m/z (rel. Int.) = 232 (5; M<sup>++</sup>), 186 (100, M - NO<sub>2</sub>)<sup>+</sup>.

#### 2-Methoxycarbonyl- $\alpha$ -cyanodihydrozimtsäurenitril (3a)

Variante A: 2.14 g (10 mmol) 6a werden in 25 ml Methanol suspendiert und bei -5°C portionsweise mit 0.24 g (6.25 mmol) NaBH<sub>4</sub> unter Rühren versetzt, so daß die Temp. nicht über +5°C steigt. Nach 15 min wird mit ca. 50 ml H<sub>2</sub>O hydrolysiert, anschließend mit 2N HCl vorsichtig angesäuert und der gebildete farblose Niederschlag abgesaugt. Umkristallisation aus Ethanol.

Variante B: 0.24 g (10 mmol) NaH, hergestellt durch Auswaschen einer 55-60proz. NaH-Mineralöldispersion mit n-Heptan, werden unter N<sub>2</sub> in 10

ml DMSO eingetragen und anschließend 3.30 g (50 mmol) **2a**, gelöst in 7.5 ml DMSO, zugetropft. Nach beendetem H<sub>2</sub>-Entwicklung werden tropfenweise 2.29 g (10 mmol) **1**, ebenfalls gelöst in 7.5 ml DMSO, zugesetzt. Der Ansatz wird 3 h bei 80°C im Ölbad gerührt, nach dem Erkalten mit 75 ml Wasser versetzt und 3 x mit 50 ml Ether extrahiert. Die vereinigten Etherphasen wäscht man 2 x mit 50 ml Wasser, trocknet mit Na<sub>2</sub>SO<sub>4</sub> und engt i.Vak. ein. Der Rückstand wird in wenig MeOH/H<sub>2</sub>O (7 + 3) aufgenommen und bei +2°C 12 h aufbewahrt. Der gebildete Niederschlag wird abfiltriert und mit wenig MeOH gewaschen.- Ausb. Variante A: 1.89 g (88%), Variante B: 0.54 g (25%) farblose Kristallnadeln.- Schmp. 86-87°C (EtOH); 86-88°C (MeOH)<sup>18</sup>.- IR (KBr): 3043 (Ar); 2960; 2926; 2849 (Me; CH<sub>2</sub>; CH); 2256 (CN; geringe Intensität); 1709 cm<sup>-1</sup> (COOMe).- UV (MeOH): λ max (lg ε) = 276 (3.15), 229 (4.00); Basenshift 232 nm (4.38).- <sup>1</sup>H-NMR (CDCl<sub>3</sub>): δ (ppm) = 8.10-8.01 (m; 1H, 3-H), 7.61-7.35 (m; 3H, 4-H, 5-H, 6-H), 4.50 (t, J = 7.0 Hz; 1H, α-H), 3.93 (s; 3H, OMe), 3.60 (d, J = 7.0 Hz; 2H, β-H).- <sup>13</sup>C-NMR (CDCl<sub>3</sub>): δ (ppm) = 167.3 (C=O), 135.4 (C-1), 133.2 (C-5), 132.9 (C-2), 131.7 (C-3), 129.1 (C-4, C-6), 112.6 (CN), 52.4 (OCH<sub>3</sub>), 36.5 (α-C), 23.8 (β-C).- MS (70 eV): m/z (rel. Int.) = 214 (31; M<sup>++</sup>), 149 (100).

#### 2-Methoxycarbonyl-α-cyanodihydrozimtsäureethylester (**3b**)

1.30 g (5 mmol) **6b** werden in 12.5 ml Methanol suspendiert und bei -15°C portionsweise mit 0.38 g (10 mmol) NaBH<sub>4</sub> versetzt, so daß die Temp. nicht über 0°C steigt. Nach 5 min wird mit ca. 40 ml Wasser hydrolysiert, mit 2N HCl auf pH 1-2 eingestellt und der Niederschlag aus wenig Ethanol umkristallisiert.- Ausb. 1.10 g (84%) farblose Kristalle.- Schmp. 66-67°C (EtOH).- C<sub>14</sub>H<sub>15</sub>NO<sub>4</sub> (261.3) Ber. C 64.4 H 5.79 N 5.4 Gef. C 64.5 H 5.82 N 5.4.- IR (KBr): 3067 (Ar); 2952; 2914; 2848 (Me; Et; CH<sub>2</sub>; CH); 2248 (CN; schwach); 1734 (COOEt); 1714 cm<sup>-1</sup> (COOME).- UV (MeOH): λ max (lg ε) = 277 (3.33), 229 (4.09); Basenshift 234 nm (4.24).- <sup>1</sup>H-NMR (CDCl<sub>3</sub>): δ (ppm) = 8.37-7.92 (m; 1H, 3-H), 7.69-7.25 (m; 3H, 4-H, 5-H, 6-H), 4.26 (q, J = 7.0 Hz; 2H, OCH<sub>2</sub>), 4.14 (dd, J<sub>1</sub> = 6.0 Hz, J<sub>2</sub> = 9.6 Hz; 1H, α-H), 3.92 (s; 3H, OMe), 3.81 (dd, J<sub>1</sub> = 6.0 Hz, J<sub>2</sub> = 13.0 Hz; 1H, β-H), 3.30 (dd, J<sub>1</sub> = 9.6 Hz, J<sub>2</sub> = 13.0 Hz; 1H, β'-H), 1.30 (t, J = 7.0 Hz; 3H, CH<sub>3</sub>).- MS (70 eV): m/z (rel. Int.) = 261 (9; M<sup>++</sup>), 156 (100).

#### 2-Methoxycarbonyl-α-cyanodihydrozimtsäureamid (**3c**)

Darstellung analog **3b** aus 1.15 g (5 mmol) **6c** und 0.38 g (10 mmol) NaBH<sub>4</sub>. Umkristallisation aus EtOH/H<sub>2</sub>O (7 + 3).- Ausb. 0.81 g (70%) farblose Kristalle.- Schmp. 138-139°C (EtOH/H<sub>2</sub>O).- C<sub>12</sub>H<sub>12</sub>N<sub>2</sub>O<sub>3</sub> (232.2) Ber. C 62.0 H 5.21 N 12.0 Gef. C 61.7 H 5.31 N 11.9.- IR (KBr): 3424; 3312; 3166 (NH<sub>2</sub>); 3083 (Ar); 2958; 2924 (Me; CH<sub>2</sub>; CH); 2255 (CN; schwach); 1704 (COOME); 1690; 1625; 1603 cm<sup>-1</sup> (CONH<sub>2</sub>).- UV (MeOH): λ max (lg ε) = 277 (3.29), 229 nm (4.05).- <sup>1</sup>H-NMR (CDCl<sub>3</sub>): δ (ppm) = 8.09-8.00 (m; 1H, 3-H), 7.56-7.38 (m; 3H, 4-H, 5-H, 6-H), 6.5 (s, br; 1H, NH, D<sub>2</sub>O-Austausch), 5.8 (s, br; 1H, NH, D<sub>2</sub>O-Austausch), 3.95 (dd, J<sub>1</sub> = 3.8 Hz, J<sub>2</sub> = 9.1 Hz; 1H, α-H), 3.93 (s; 3H, OMe), 3.83 (dd, J<sub>1</sub> = 3.8 Hz, J<sub>2</sub> = 11.7 Hz; 1H, β-H), 3.20 (dd, J<sub>1</sub> = 9.1 Hz, J<sub>2</sub> = 11.7 Hz; 1H, β'-H).- MS (70 eV): m/z (rel. Int.) = 232 (60; M<sup>++</sup>), 157 (100).

#### 2-Methoxycarbonyl-α-cyanodihydrothiozimtsäureamid (**3d**)

Darstellung analog **3b** aus 1.23 g (5 mmol) **6d** und 0.19 g (5 mmol) NaBH<sub>4</sub> in 20 ml Methanol.- Ausb. 1.05 g (85%) farblose Kristalle.- Schmp. 152-153°C (EtOH).- C<sub>12</sub>H<sub>12</sub>N<sub>2</sub>O<sub>2</sub>S (248.3) Ber. C 58.0 H 4.87 N 11.3 Gef. C 58.1 H 4.80 N 11.3.- IR (KBr): 3379; 3266; 3166 (NH<sub>2</sub>); 3025 (Ar); 2952; 2907; 2847 (Me; CH<sub>2</sub>; CH); 2247 (CN schwach); 1699 (COOME); 1660; 1622; 1600 cm<sup>-1</sup> (CSNH<sub>2</sub>).- UV (MeOH): λ max (lg ε) = 273 (4.26), 229 (4.17); Basenshift 294 (4.39), 229 nm (sh; 4.44).- <sup>1</sup>H-NMR (CDCl<sub>3</sub>): δ (ppm) = 8.11-8.02 (m; 1H, 3-H), 7.57-7.22 (m; 3H, 4-H, 5-H, 6-H), 4.30 (dd, J<sub>1</sub> = 3.4 Hz, J<sub>2</sub> = 10.6 Hz; 1H, α-H), 3.94 (s; 3H, OMe), 3.86 (dd, J<sub>1</sub> = 3.4 Hz, J<sub>2</sub> = 12.8 Hz; 1H, β-H), 3.29 (dd, J<sub>1</sub> = 10.6

Hz, J<sub>2</sub> = 12.8 Hz; 1H, β'-H).- MS (70 eV): m/z (rel. Int.) = 248 (58; M<sup>++</sup>), 89 (100; M - COOME)<sup>+</sup>.

#### 2-Methoxycarbonyl-α-(α'-hydroxybenzyl)dihydrozimtsäurenitril (**7e**)

Darstellung analog **3b** aus 0.58 g (2 mmol) **6e** und 0.15 g (4 mmol) NaBH<sub>4</sub> in 7 ml Methanol.- Ausb. 0.39 g (66%) farblose Kristalle.- Schmp. 88-89°C (EtOH).- C<sub>18</sub>H<sub>17</sub>NO<sub>3</sub> (295.3) Ber. C 73.2 H 5.80 N 4.7 Gef. C 73.2 H 5.92 N 4.7.- IR (KBr): 3460 (OH); 3063; 3032 (Ar); 2984; 2947; 2900 (Me; CH<sub>2</sub>; CH); 2254 (CN); 1719 cm<sup>-1</sup> (COOME).- UV (MeOH): λ max (lg ε) = 274 (3.31), 228 nm (4.04).- <sup>1</sup>H-NMR ([D<sub>6</sub>]DMSO): δ (ppm) = 7.93-7.81 (m; 1H, 3-H), 7.47-7.38 (m; 8H, aromat.), 6.15 (s; 1H, OH, D<sub>2</sub>O-Austausch), 4.89 (m; 1H, >CH-OH), 3.74 (s; 3H, OMe), 3.40-2.96 (m; 3H, α-H, β-H).- MS (70 eV): m/z (rel. Int.) = 295 (11; M<sup>++</sup>), 107 (100).

#### 2-Methoxycarbonyl-α-benzoyldihydrozimtsäurenitril (**3e**)

0.58 g (2 mmol) **6e** werden in 15 ml Essigsäureethylester (EtOAc) gelöst und an 100 mg Pd/C (10%) in einer PARR-Apparatur bei Raumtemp. 45 min bei 2 bar hydriert. Der Katalysator wird über Celite® 503 abfiltriert, das Filtrat i.Vak. eingeengt und der ölige Rückstand mit Ethanol kristallisiert.- Ausb. 0.55 g (94%) farblose Kristalle.- Schmp. 98-99°C (EtOH).- C<sub>18</sub>H<sub>15</sub>NO<sub>3</sub> (293.3) Ber. C 73.7 H 5.15 N 4.8 Gef. C 73.3 H 5.17 N 4.8.- IR (KBr): 3073 (Ar); 2952; 2847 (Me; CH<sub>2</sub>; CH); 2240 (CN; schwach); 1715 (COOME); 1692 cm<sup>-1</sup> (C=O).- UV (MeOH): λ max (lg ε) = 276 (sh; 3.79), 250 (sh; 4.25), 236 (4.32); Säureshift 272 (sh; 4.02), 248 (sh; 4.19), 232 (4.28); Basenshift 293 (4.20), 249 nm (sh; 4.25).- <sup>1</sup>H-NMR (CDCl<sub>3</sub>): δ (ppm) = 8.13-7.96 (m; 3H, 3-H, 2'-H, 6'-H), 7.64-7.37 (m; 6H, 4-H, 5-H, 6-H, 3-H', 4-H', 5'-H), 5.85 (dd, J<sub>1</sub> = 5.6 Hz, J<sub>2</sub> = 9.8 Hz; 1H, α-H), 3.91 (s; 3H, OMe), 3.85 (dd, J<sub>1</sub> = 5.6 Hz, J<sub>2</sub> = 13.1 Hz; 1H, β-H), 3.27 (dd, J<sub>1</sub> = 9.8 Hz, J<sub>2</sub> = 13.1 Hz; 1H, β'-H).- MS (70 eV): m/z (rel. Int.) = 293 (2; M<sup>++</sup>), 105 (100).

#### 2-Methoxycarbonyl-α-acetyldihydrozimtsäurenitril (**3f**)

Darstellung analog **3e** aus 0.46 g (2 mmol) **6f**.- Ausb. 0.38 g (82%) farblose Kristallnadeln.- Schmp. 75-76°C (EtOH).- C<sub>13</sub>H<sub>13</sub>NO<sub>3</sub> (231.3) Ber. C 67.5 H 5.67 N 6.0 Gef. C 67.3 H 5.73 N 5.8.- IR (KBr): 3004 (Ar); 2955; 2929; 2847 (Me; CH<sub>3</sub>; CH<sub>2</sub>; CH); 2250 (CN; schwach); 1723 (COOME); 1713 (C=O) cm<sup>-1</sup>.- UV (MeOH): λ max (lg ε) = 271 (sh; 3.41), 229 (4.14); Basenshift 252 (sh; 4.11), 231 (sh; 4.18) nm.- <sup>1</sup>H-NMR (CDCl<sub>3</sub>): δ (ppm) = 8.08-7.98 (m; 1H, 3-H), 7.63-7.36 (m; 3H, 4-H, 5-H, 6-H), 4.14 (dd, J<sub>1</sub> = 4.8 Hz; J<sub>2</sub> = 10.2 Hz; 1H, α-H), 3.91 (s; 3H, OMe), 3.82 (dd, J<sub>1</sub> = 4.8 Hz; J<sub>2</sub> = 13.0 Hz; 1H, β-H), 3.04 (dd, J<sub>1</sub> = 10.2 Hz, J<sub>2</sub> = 13.0 Hz; 1H, β'-H), 2.44 (s; 3H, CH<sub>3</sub>).- MS (70 eV): m/z (rel. Int.) = 231 (3; M<sup>++</sup>), 43 (100).

#### 2-Methoxycarbonyl-α-nitrodihydrozimtsäurenitril (**3g**)

1.16 g (5 mmol) **6g** werden analog der Darstellung von **3b** mit 0.38 g (10 mmol) NaBH<sub>4</sub> in 15 ml Methanol reduziert. Nach der Hydrolyse mit Wasser und 2N HCl wird 3 x mit 15 ml Ether extrahiert, die vereinigten Etherphasen werden über CaCl<sub>2</sub> getrocknet und nach Filtration die Lösung i.Vak. eingeengt: farbloses Öl, das aus Petrolether/Isopropanol über Nacht bei +2°C durchkristallisiert. Die Substanz muß bei -30°C aufbewahrt werden, da sie bei Raumtemp. nach einigen Tagen zu einem rotbraunen Öl zerläuft.- Ausb. 0.86 g (74%) farblose Kristalle. Schmp. 55-56°C (PE/i-PrOH).- C<sub>11</sub>H<sub>10</sub>N<sub>2</sub>O<sub>4</sub> (234.2) Ber. C 56.4 H 4.30 N 11.9 Gef. C 56.6 H 3.96 N 11.4.- IR (KBr): 3054 (Ar); 2994; 2962 (Me; CH<sub>2</sub>; CH); 2238 (CN; schwach); 1706 (COOME); 1576 (NO<sub>2</sub>) cm<sup>-1</sup>.- UV (MeOH): λ max (lg ε) = 300 (3.99), 223 (4.08); Säureshift 325 (3.09), 227 (3.98) nm.- <sup>1</sup>H-NMR (CDCl<sub>3</sub>): δ (ppm) = 8.13-8.03 (m; 1H, 3-H), 7.66-7.36 (m; 3H, 4-H, 5-H, 6-H), 5.92 (dd, J<sub>1</sub> = 7.2 Hz, J<sub>2</sub> = 8.1 Hz, 1H, α-H), 4.08 (dd, J<sub>1</sub> = 7.2 Hz, J<sub>2</sub>

= 13.0 Hz; 1H,  $\beta$ -H), 3.94 (s; 3H, OMe), 3.70 (dd,  $J_1$  = 8.1 Hz,  $J_2$  = 13.0 Hz; 1H,  $\beta'$ -H).- MS (70 eV): m/z (rel. Int.) = 156 (100).

### 1,2-Dihydro-3-methoxy-1-oxo-5H-2-benzazepin-4-carbonitril (9a)

2.14 g (10 mmol) **3a** werden in einer Lösung von 1.15 g (50 mmol) Natrium in 50 ml Methanol 2 h unter Rückfluß erhitzt. Die Lösung wird i.Vak. eingengegnet und der Rückstand in 100 ml Wasser aufgenommen. Durch Ansäuern mit 10proz.  $H_2SO_4$  fällt ein farbloser, amorpher Niederschlag aus, der mit Wasser gewaschen und aus viel Methanol kristallisiert wird.- Ausb. 1.96 g (92%) feine, farblose Kristalle.- Schmp. 178-179°C (MeOH).-  $C_{12}H_{10}N_2O_2$  (214.2) Ber. C 67.2 H 4.71 N 13.1 Gef. C 67.1 H 4.75 N 13.1.- IR (KBr): 3215; 3154 (NH); 3067 (Ar); 2971; 2937; 2856 (Me;  $CH_2$ ); 2209 (CN; intensiv); 1683 (Lactam)  $cm^{-1}$ .- UV (MeOH):  $\lambda$  max ( $lg \epsilon$ ) = 289 (sh; 3.62), 267 (sh; 3.77), 230 (4.12); Basenshift 315 (3.82), 275 (sh; 3.80), 253 (sh; 3.86) nm.-  $^1H$ -NMR ( $[D_6]DMSO$ ):  $\delta$  (ppm) = 10.8 (s, br; 1H, NH,  $D_2O$ -Austausch), 7.76-7.30 (m; 4H, aromat.), 3.80 (s; 3H, OMe), 3.38 (s; 2H, 5-H).-  $^{13}C$ -NMR ( $[D_6]DMSO$ ):  $\delta$  (ppm) = 167.2 (C-1), 159.5 (C-3), 141.6 (C-5a), 132.7 (C-9a), 131.5 (C-7), 130.5 (C-9), 127.0 (C-6), 126.7 (C-8), 117.9 (CN), 75.4 (C-4), 58.8 (OCH<sub>3</sub>), 30.4 (C-5).- MS (70 eV): m/z (rel. Int.) = 214 (100; M<sup>++</sup>).

### 1,2-Dihydro-3-methoxy-1-oxo-5H-2-benzazepin-4-carbonitril-Natriumsalz (9aNa)

1.07 g (5 mmol) **3a** werden mit einer Lösung von 0.12 g (5 mmol) Natrium in 20 ml Methanol 2 h unter Rückfluß erhitzt. Anschließend wird i.Vak. zur Trockne eingedampft und der verbleibende, hellgelbe Niederschlag über Nacht bei 50°C getrocknet.- Ausb. 0.73 g (62%) hellgelbes Pulver.- Schmp. 116-117°C.- IR (KBr): 3400; 2954 ( $CH_2$ ); 2183 (CN); 1603; 1581  $cm^{-1}$  (Lactam).- UV (MeOH):  $\lambda$  max ( $lg \epsilon$ ) = 230 (4.29); Basenshift 316 (3.97), 276 (sh; 3.96), 252 nm (sh; 4.01).-  $^1H$ -NMR ( $D_2O$ ):  $\delta$  (ppm) = 7.52-7.17 (m; 4H, aromat.), 3.60 (s; 3H, OMe), 3.04 (s; 2H, 5-H).-  $^{13}C$ -NMR ( $D_2O$ ):  $\delta$  (ppm) = 178.9 (C-1), 172.4 (C-3), 144.7 (C-5a), 137.1 (C-9a), 135.6 (C-7), 130.6 (C-9), 129.1 (C-6), 127.8 (C-8), 126.9 (CN), 68.1 (C-4), 56.8 (OMe), 32.6 (C-5).

### 1,2-Dihydro-3-ethoxy-1-oxo-5H-2-benzazepin-4-carbonitril (9b)

Darstellung analog **9a** aus 2.14 g (10 mmol) **3a** und 1.15 g (50 mmol) Natrium in 50 ml Ethanol.- Ausb. 1.84 g (81%) feine, farblose Kristalle.- Schmp. 148-149°C (EtOH).-  $C_{13}H_{11}N_2O_2$  (228.3) Ber. C 68.4 H 5.29 N 12.2 Gef. C 68.5 H 5.28 N 12.2.- IR (KBr): 3192 (NH); 3089 (Ar); 2983; 2964 (Et;  $CH_2$ ); 2199 (CN; intensiv); 1678  $cm^{-1}$  (Lactam).- UV (MeOH):  $\lambda$  max ( $lg \epsilon$ ) = 286 (sh; 3.75), 265 (sh; 3.90), 230 (4.24); Basenshift 315 (3.94), 275 (sh; 3.93), 252 nm (sh; 3.98).-  $^1H$ -NMR ( $[D_6]DMSO$ ):  $\delta$  (ppm) = 10.8 (s, br; 1H, NH,  $D_2O$ -Austausch), 7.80-7.30 (m; 4H, aromat.), 4.13 (q,  $J$  = 7.0 Hz; 2H, OCH<sub>2</sub>), 3.38 (s; 2H, 5-H), 1.12 (t;  $J$  = 7.0 Hz; 3H, CH<sub>3</sub>).- MS (70 eV): m/z (rel. Int.) = 228 (100; M<sup>++</sup>).

### 3-Amino-1,2-dihydro-1-oxo-5H-2-benzazepin-4-carbonitril (10)

2.14 g (10 mmol) **9a** und 15.40 g (200 mmol) Ammoniumacetat werden in 50 ml Methanol 3 h unter Rückfluß erhitzt. Der bereits in der Hitze gebildete, farblose Niederschlag wird nach dem Abkühlen abfiltriert, mit Methanol gewaschen und aus Ethanol umkristallisiert.- Ausb. 1.38 g (69%) farblose, kleine Kristalle.- Schmp. 269-270°C (EtOH).-  $C_{11}H_9N_3O$  (199.2) Ber. C 66.3 H 4.55 N 21.1 Gef. C 66.4 H 4.69 N 21.1.- IR (KBr): 3431; 3338; 3280; 3231 (NH<sub>2</sub>; NH); 2978; 2924; 2851 ( $CH_2$ ); 2175 (CN; intensiv); 1666; 1641; 1615 (Lactam, C=C-NH<sub>2</sub>)  $cm^{-1}$ .- UV (MeOH):  $\lambda$  max ( $lg \epsilon$ ) = 304 (sh; 3.63), 278 (sh; 3.88), 261 (3.99), 231 (4.24); Basenshift 311 (3.85), 282 nm (3.96).-  $^1H$ -NMR ( $[D_6]DMSO$ ):  $\delta$  (ppm) = 9.8 (s, br; 1H, NH,  $D_2O$ -Austausch), 7.74-7.26 (m; 4H, aromat.), 6.0 (s, br; 2H, NH<sub>2</sub>,  $D_2O$ -Austausch), 3.24 (s; 2H, 5-H).-  $^{13}C$ -NMR ( $[D_6]DMSO$ ):  $\delta$

(ppm) = 168.0 (C-1), 152.6 (C-3), 142.8 (C-5a), 132.7 (C-9a), 131.7 (C-7), 130.4 (C-9), 126.7 (C-6), 126.5 (C-8), 121.2 (CN), 63.0 (C-4), 31.1 (C-5).- MS (70 eV): m/z (rel. Int.) = 199 (100; M<sup>++</sup>).

### N-(4-Cyano-1,2-dihydro-1-oxo-5H-2-benzazepin-3-yl)formimidäuremethylester (12a)

1.99 g (10 mmol) **10** werden mit 40 ml Orthoameisensäuretrimethylester (**11a**) unter Zusatz von 5-6 Tropfen Trifluoressigsäure 1 h unter Rückfluß erhitzt. Der bei +2°C über Nacht gebildete Niederschlag wird abgesaugt und mit wenig Methanol gewaschen. Die verbleibende Mutterlauge engt man i.Vak. zur Trockne ein, wobei weiteres **12a** anfällt. Umkristallisation aus Methanol.- Ausb. 2.32 g (96%) farblose Kristalle.- Schmp. 196-197°C (MeOH).-  $C_{13}H_{11}N_3O_2$  (241.3) Ber. C 64.7 H 4.59 N 17.4 Gef. C 64.3 H 4.57 N 17.7.- IR (KBr): 3178; 3109 (NH); 2951; 2926 ( $CH_2$ ; Me); 2210 (CN); 1663; 1627  $cm^{-1}$  (Lactam; N=C-OMe).- UV (MeOH):  $\lambda$  max ( $lg \epsilon$ ) = 277 (4.11), 222 (4.39); Basenshift 310 (4.20), 259 (sh; 4.21), 232 nm (sh; 4.41).-  $^1H$ -NMR ( $[D_6]DMSO$ ):  $\delta$  (ppm) = 10.4 (s, br; 1H, NH,  $D_2O$ -Austausch), 8.22 (s; 1H, Methin-H), 7.78-7.30 (m; 4H, aromat.), 3.78 (s; 3H, OMe), 3.48 (s; 2H, 5-H).-  $^{13}C$ -NMR ( $[D_6]DMSO$ ):  $\delta$  (ppm) = 167.4 (C-1), 161.5 (C=N), 152.6 (C-3), 140.7 (C-5a), 133.1 (C-9a), 132.8 (C-7), 130.5 (C-9), 127.2 (C-6), 127.0 (C-8), 119.1 (CN), 84.0 (C-4), 54.4 (OMe), 31.9 (C-5).- MS (70 eV): m/z (rel. Int.) = 241 (100; M<sup>++</sup>).

### N-(4-Cyano-1,2-dihydro-1-oxo-5H-2-benzazepin-3-yl)formimidäureethylester (12b)

Darstellung analog **12a** aus 0.40 g (2 mmol) **10**, 10 ml Orthoameisensäuretriethylester (**11b**) und 1-2 Tropfen Trifluoressigsäure. Umkristallisation aus Ethanol.- Ausb. 0.44 g (86%) farblose Kristalle.- Schmp. 186-187°C (EtOH).-  $C_{14}H_{13}N_3O_2$  (255.3) Ber. C 65.8 H 5.13 N 16.5 Gef. C 65.5 H 5.39 N 16.8.- IR (KBr): 3188; 3081 (NH); 2989; 2943 ( $CH_2$ ; Et); 2205 (CN); 1673; 1651; 1616  $cm^{-1}$  (Lactam; N=C-OEt).- UV (MeOH):  $\lambda$  max ( $lg \epsilon$ ) = 278 (4.14); Säureshift 230 (4.35); Basenshift 311 (4.17), 261 (sh; 4.16), 231 nm (sh; 4.39).-  $^1H$ -NMR ( $[D_6]DMSO$ ):  $\delta$  (ppm) = 10.4 (s, br; 1H, NH,  $D_2O$ -Austausch), 8.16 (s; 1H, Methin-H), 7.78-7.30 (m; 4H, aromat.), 4.22 (q,  $J$  = 7.0 Hz; 2H, OCH<sub>2</sub>), 3.48 (s; 2H, 5-H), 1.27 (t,  $J$  = 7.0 Hz; 3H, CH<sub>3</sub>).- MS (70 eV): m/z (rel. Int.) = 255 (100; M<sup>++</sup>).

### N-(4-Cyano-1,2-dihydro-1-oxo-dihydro-5H-2-benzazepin-3-yl)acetimidäureethylester (12c)

Darstellung analog **12a** aus 1.00 g (5 mmol) **10**, 20 ml Orthoessigsäure-triethylester (**11c**) und 2-3 Tropfen Trifluoressigsäure. Umkristallisation aus Ethanol.- Ausb. 1.05 g (78%) farblose Kristalle.- Schmp. 136-137°C (EtOH).-  $C_{15}H_{15}N_3O_2$  (269.3) Ber. C 66.9 H 5.61 N 15.6 Gef. C 66.9 H 5.84 N 15.4.- IR (KBr): 3195; 3080 (NH); 2992; 2956 ( $CH_2$ ; CH<sub>3</sub>); 2205 (CN); 1668; 1621; 1604  $cm^{-1}$  (Lactam; N=C-OEt).- UV (MeOH):  $\lambda$  max ( $lg \epsilon$ ) = 269 (3.91), 288 (4.24); Basenshift 310 (3.96), 250 nm (sh; 4.02).-  $^1H$ -NMR ( $[D_6]DMSO$ ):  $\delta$  (ppm) = 10.2 (s, br; 1H; NH,  $D_2O$ -Austausch), 7.80-7.30 (m; 4H, aromat.), 4.12 (q,  $J$  = 7.0 Hz; 2H, OCH<sub>2</sub>), 3.48 (s; 2H, 5-H), 1.92 (s; 3H, CH<sub>3</sub>), 1.23 (t;  $J$  = 7.0 Hz; 3H, CH<sub>3</sub>).- MS (70 eV): m/z (rel. Int.) = 269 (91; M<sup>++</sup>), 43 (100).

### N-(4-Cyano-1,2-dihydro-1-oxo-dihydro-5H-2-benzazepin-3-yl)formamidin (13)

0.48 g (2 mmol) **12a** werden bei 5-10°C 2 h in 40 ml ammoniakgesättigtem Ethanol gerührt. Der gebildete Niederschlag wird abgesaugt und getrocknet.- Ausb. 0.26 g (58%) farblose, feine Kristalle.- Schmp. 271-272°C.-  $C_{12}H_{10}N_4O$  (226.2) Ber. C 63.7 H 4.45 N 24.7 Gef. C 63.8 H 4.23 N 24.1.- IR (KBr): 3444; 3359; 3204 (NH<sub>2</sub>; NH); 2928; 2855 ( $CH_2$ ); 2193 (CN); 1669; 1636; 1585  $cm^{-1}$  (Lactam; N=C-NH<sub>2</sub>).- UV (MeOH):  $\lambda$  max ( $lg \epsilon$ ) = 288 (4.10), 233 (4.46); Säureshift 283 (4.09); Basenshift 296 nm

(4.10).- <sup>1</sup>H-NMR ([D<sub>6</sub>]DMSO):  $\delta$  (ppm) = 10.0 (s, br; 1H, NH, D<sub>2</sub>O-Austausch), 7.74 (s; 1H, Methin-H), 7.4 (s, br; 2H, NH<sub>2</sub>, D<sub>2</sub>O-Austausch), 7.67-7.25 (m; 4H, aromat.), 3.35 (s; 2H, 5-H).- MS (70 eV): m/z (rel. Int.) = 226 (100; M<sup>+</sup>).

*N-(4-Cyano-1,2-dihydro-1-oxo-5H-2-benzazepin-3-yl)-N',N'-dimethylformamidin (15a)*

0.40 g (2 mmol) **10** werden mit 7.5 ml Dimethylformamiddimethylacetal (**14a**) 30 min unter Rückfluß erhitzt. Beim Stehen bei +2°C fallen feine Nadeln aus, die abfiltriert und aus Ethanol umkristallisiert werden.- Ausb. 0.35 g (69%) farblose, feine Kristallnadeln.- Schmp. 205-206°C (EtOH).- C<sub>14</sub>H<sub>14</sub>N<sub>4</sub>O (254.3) Ber. C 66.1 H 5.54 N 22.0 Gef. C 65.6 H 5.21 N 21.9.- IR (KBr): 3168; 3045 (NH); 2922 (CH<sub>2</sub>); 2192 (CN); 1658; 1629; 1594 (Lactam; N=C-N(CH<sub>3</sub>)<sub>2</sub>) cm<sup>-1</sup>.- UV (MeOH):  $\lambda$  max (lg  $\epsilon$ ) = 303 (4.36), 239 (4.50); Säureshift 279 (4.24), 229 (4.52); Basenshift 315 (4.37), 270 nm (4.51).- <sup>1</sup>H-NMR ([D<sub>6</sub>]DMSO):  $\delta$  (ppm) = 10.0 (s, br; 1H, NH, D<sub>2</sub>O-Austausch), 7.89 (s; 1H, Methin-H), 7.74-7.28 (m; 4H, aromat.), 3.35 (s; 2H, 5-H), 3.04 (s; 3H, NCH<sub>3</sub>), 2.91 (s; 3H, NCH<sub>3</sub>).- MS (70 eV): m/z (rel. Int.) = 254 (100; M<sup>+</sup>).

*N-(4-Cyano-1,2-dihydro-1-oxo-5H-2-benzazepin-3-yl)-N',N'-dimethylacetamidin (15b)*

1.00 g (5 mmol) **10** und 1.00 g (7.5 mmol) Dimethylacetamiddimethylacetal (**14b**) werden in 10 ml Methanol 2 h zum Sieden erhitzt. Beim Stehen bei +2°C fallen feine Nadeln aus, die abfiltriert und aus Methanol umkristallisiert werden.- Ausb. 0.84 g (63%) farblose, feine Kristallnadeln.- Schmp. 109-191°C (MeOH).- C<sub>15</sub>H<sub>16</sub>N<sub>4</sub>O (268.32) Ber. C 67.2 H 6.00 N 20.9 Gef. C 67.8 H 6.10 N 21.0.- IR (KBr): 3197; 3080 (NH); 2957; 2883 (CH<sub>2</sub>; CH<sub>3</sub>); 2198 (CN); 1672; 1620; 1592 cm<sup>-1</sup> (Lactam; N=C-N(CH<sub>3</sub>)<sub>2</sub>).- UV (MeOH):  $\lambda$  max (lg  $\epsilon$ ) = 286 (4.08), 228 (4.42); Säureshift 271 (4.11); Basenshift 285 nm (4.08).- <sup>1</sup>H-NMR ([D<sub>6</sub>]DMSO):  $\delta$  (ppm) = 9.8 (s, br; 1H, NH, D<sub>2</sub>O-Austausch), 7.78-7.27 (m; 4H, aromat.), 3.37 (s; 2H, 5-H), 2.96 (s; 6H, 2 x NCH<sub>3</sub>), 1.95 (s; 3H, CH<sub>3</sub>).- MS (70 eV): m/z (rel. Int.) = 268 (100; M<sup>+</sup>).

*4-Amino-5H-pyrimido[4,5-c]2-benzazepin-10(11H)-on (16a)*

Variante A: 2.41 g (10 mmol) **12a** und 19.25 g (250 mmol) Ammoniumacetat werden in 25 ml Methanol 1 h zum Sieden erhitzt, wobei ein Teil von **16a** bereits ausfällt. Nach dem Erkalten filtriert man den Niederschlag ab, wäscht mit viel Methanol nach und fällt aus DMF/H<sub>2</sub>O um.

Variante B: 0.51 g (2 mmol) **15a** und 3.85 g (50 mmol) Ammoniumacetat werden in 7.5 ml Methanol 2 h unter Rückfluß erhitzt. Aufarbeitung wie Variante A.

Variante C: 0.23 g (1 mmol) **13** werden in 5 ml Ethanol 1 h unter Rückfluß erhitzt, dann wird der Ansatz zur Trockne eingeengt und das Rohprodukt aus DMF/H<sub>2</sub>O umgefällt.

Ausb. Variante A: 2.08 g (92%), Variante B: 0.32 g (71%), Variante C: 0.19 g (84%) farbloses, amorphes Pulver.- Schmp. 321-322°C (DMF/H<sub>2</sub>O).- C<sub>12</sub>H<sub>10</sub>N<sub>4</sub>O (226.2) Ber. C 63.7 H 4.46 N 24.7 Gef. C 63.3 H 4.52 N 24.4.- IR (KBr): 3474; 3444; 3316; 3212 (NH<sub>2</sub>; NH); 2862 (CH<sub>2</sub>); 1661 cm<sup>-1</sup> (Lactam).- UV (MeOH):  $\lambda$  max (lg  $\epsilon$ ) = 279 (3.75), 231 (4.30); Säureshift 287 (3.95), 228 (4.28); Basenshift 290 nm (3.90).- <sup>1</sup>H-NMR ([D<sub>6</sub>]DMSO):  $\delta$  (ppm) = 10.5 (s, br; 1H, NH, D<sub>2</sub>O-Austausch), 8.04 (s; 1H, 2-H), 7.76-7.24 (m; 4H, aromat.), 7.1 (s, br; 2H, NH<sub>2</sub>, D<sub>2</sub>O-Austausch), 3.75 (s; 2H, 5-H).- <sup>13</sup>C-NMR ([D<sub>6</sub>]DMSO):  $\delta$  (ppm) = 167.8 (C-10), 161.4 (C-4), 155.4 (C-11a), 155.1 (C-2), 140.4 (C-5a), 132.4 (C-9a), 132.1 (C-7), 130.0 (C-9), 126.8 (C-6), 126.7 (C-8), 103.0 (C-4a), 27.8 (C-5).- MS (70 eV): m/z (rel. Int.) = 226 (100; M<sup>+</sup>).

*4-Amino-2-methyl-5H-pyrimido[4,5-c]2-benzazepin-10(11H)-on (16b)*

Variante A: Darstellung analog **16a**, Variante A, aus 0.27 g (1 mmol) **12c** und 2.31 g (30 mmol) Ammoniumacetat in 10 ml Methanol.

Variante B: Darstellung analog **16a**, Variante B, aus 0.27 g (1 mmol) **15b** und 2.31 g (30 mmol) Ammoniumacetat in 10 ml Methanol.- Ausb. Variante A: 0.17 g (71%), Variante B: 0.15 g (63%) farbloses, amorphes Pulver.- Schmp. 297-298°C (DMF/H<sub>2</sub>O).- C<sub>13</sub>H<sub>12</sub>N<sub>4</sub>O (240.3) Ber. C 64.9 H 5.03 N 23.3 Gef. C 64.6 H 5.26 N 23.3.- IR (KBr): 3398; 3175 (NH; NH<sub>2</sub>); 2903; 2852 (CH<sub>2</sub>; CH<sub>3</sub>); 1656; 1641 cm<sup>-1</sup> (Lactam).- UV (MeOH):  $\lambda$  max (lg  $\epsilon$ ) = 280 (3.90), 230 (4.43); Säureshift 288 nm (4.07).- <sup>1</sup>H-NMR ([D<sub>6</sub>]DMSO):  $\delta$  (ppm) = 10.3 (s, br; 1H, NH, D<sub>2</sub>O-Austausch), 7.74-7.41 (m; 4H, aromat.), 6.9 (s, br; 2H, NH<sub>2</sub>, D<sub>2</sub>O-Austausch), 3.71 (s; 2H, 5-H), 2.22 (s; 3H, CH<sub>3</sub>).- MS (70 eV): m/z (rel. Int.) = 240 (100; M<sup>+</sup>).

*4-Amino-10-chlor-5H-pyrimido[4,5-c]2-benzazepin (17)*

0.23 g (1 mmol) **16a** und 0.21 g (1 mmol) PCl<sub>5</sub> werden in 10 ml frisch destilliertem POCl<sub>3</sub> mit 2 Tropfen Pyridin 4 h unter Rückfluß erhitzt. Anschließend wird die klare, braune Lösung i.Vak. zur Trockne eingeengt und nach Zusatz von etwas Eiswasser mit 10proz. Sodalösung ein pH 7-8 eingestellt. Die getrübte Lösung bewahrt man bei +2°C über Nacht auf, wobei sich ein schmutzig-gelber Niederschlag absetzt. Nach Abfiltrieren wird mit Wasser gewaschen und durch Kristallisation aus viel Ethanol gereinigt.- Ausb. 0.12 g (49%) gelbes Pulver.- Schmp. 295-296°C (EtOH).- C<sub>12</sub>H<sub>9</sub>ClN<sub>4</sub> (244.7) Ber. C 58.9 H 3.71 N 22.8 Gef. C 59.4 H 3.70 N 21.1.- IR (KBr): 3343; 3182 (NH<sub>2</sub>); 2921; 2851 (CH<sub>2</sub>); 1662 cm<sup>-1</sup> (C=N).- UV (MeOH):  $\lambda$  max (lg  $\epsilon$ ) = 253 (sh; 4.07), 232 (sh; 4.23); Säureshift 263 nm (4.06).- <sup>1</sup>H-NMR ([D<sub>6</sub>]DMSO):  $\delta$  (ppm) = 8.11 (s; 1H, 2-H), 7.77-7.53 (m; 4H, aromat.), 7.2 (s, br; 2H, NH<sub>2</sub>, D<sub>2</sub>O-Austausch), 3.62 (s; 2H, 5-H).- MS (70 eV): m/z (rel. Int.) = 246/244 (29/100; M<sup>+</sup>).

*4-Amino-10-(N-methylpiperazino)-5H-pyrimido[4,5-c]2-benzazepin (19a)*

Variante A: 1.22 g (5 mmol) **17** und 2.50 g (25 mmol) *N*-Methylpiperazin (**18a**) werden in 50 ml Ethanol 4 h zum Sieden erhitzt. Der bereits in der Hitze gebildete, farblose Niederschlag wird nach dem Erkalten abfiltriert, mit Ethanol gewaschen und sc an KG (CHCl<sub>3</sub>/MeOH 7 + 3) gereinigt.

Variante B: 0.38 g (1 mmol) **22** werden mit 2-3 Tropfen Eisessig in 5.00 g (50 mmol) *N*-Methylpiperazin (**18a**) (K<sub>p760</sub> = 138°C) 18 h unter Rückfluß erhitzt. Nach Zugabe von 40 ml Aceton bildet sich ein ockerfarbener Niederschlag, der abfiltriert und, wie bei Variante A beschrieben, gereinigt wird.- Ausb. Variante A: 0.63 g (41%), Variante B: 0.14 g (45%) farbloses, amorphes Pulver.- Schmp. 326-327°C (DMF/H<sub>2</sub>O).- C<sub>17</sub>H<sub>20</sub>N<sub>6</sub> (308.3) Ber. C 66.2 H 6.53 N 27.2 Gef. C 65.7 H 6.47 N 27.0.- IR (KBr): 3332; 3142 (NH<sub>2</sub>); 2968; 2937; 2855; 2792 (CH<sub>2</sub>; NCH<sub>3</sub>); 1656 cm<sup>-1</sup> (Amidin).- UV (MeOH):  $\lambda$  max (lg  $\epsilon$ ) = 307 (4.25), 272 (sh; 4.21), 236 (sh; 4.42); Säureshift 319 (4.41), 257 (4.37), 222 nm (4.37).- <sup>1</sup>H-NMR ([D<sub>6</sub>]DMSO):  $\delta$  (ppm) = 7.89 (s; 1H, 2-H), 7.52-7.31 (m; 4H, aromat.), 6.6 (s, br; 2H, NH<sub>2</sub>, D<sub>2</sub>O-Austausch), 3.87 (d, J = 13.5 Hz; 1H, 5α-H), 3.64-3.40 (m; 4H, 2'-H, 6'-H), 2.93 (d, J = 13.5 Hz; 1H, 5β-H), 2.49-2.29 (m; 4H, 3'-H, 5'-H), 2.21 (s; 3H, NCH<sub>3</sub>).- <sup>13</sup>C-NMR (CDCl<sub>3</sub>/MeOD):  $\delta$  (ppm) = 163.1, 163.0 (C-10, C-4), 160.5 (C-11a), 155.4 (C-2), 142.2 (C-5a), 132.0 (C-9a), 128.5 (C-7), 127.4, 127.2 (C-6, C-9), 127.0 (C-8), 105.5 (C-4a), 55.2 (C-3', C-5'), 46.0 (C-2', C-6', NCH<sub>3</sub>), 29.4 (C-5').- MS (70 eV): m/z (rel. Int.) = 308 (11; M<sup>+</sup>), 83 (100).

*4-Amino-10-morpholino-5H-pyrimido[4,5-c]2-benzazepin (19b)*

0.25 g (1 mmol) **17** und 0.44 g (5 mmol) Morphin (**18b**) werden in 10 ml Ethanol 4 h unter Rückfluß erhitzt. Aufarbeitung wie **19a**, Variante A.- Ausb. 0.13 g (44%) farbloses, amorphes Pulver.- Schmp. > 300°C (DMF/H<sub>2</sub>O).- C<sub>16</sub>H<sub>17</sub>N<sub>5</sub>O (275.3) Ber. C 65.0 H 5.81 N 23.7 Gef. C 64.5

H 5.95 N 22.4.- IR (KBr): 3339; 3171 (NH<sub>2</sub>); 2965; 2922; 2847 (CH<sub>2</sub>); 1670 cm<sup>-1</sup> (Amidin).- UV (MeOH):  $\lambda$  max (lg  $\epsilon$ ) = 307 (4.15), 234 (sh; 4.33), 220 (sh; 4.37); Säureshift 323 (4.39), 256 (4.21), 222 nm (4.24).- <sup>1</sup>H-NMR ([D<sub>6</sub>]DMSO):  $\delta$  (ppm) = 7.90 (s; 1H, 2-H), 7.59-7.24 (m; 4H, aromat.), 6.6 (s, br; 2H, NH<sub>2</sub>, D<sub>2</sub>O-Austausch), 3.88 (d, J = 13.5 Hz; 1H, 5 $\alpha$ -H), 3.54 (s, br; 4H, 3'-H, 5'-H), 3.48 (s, br; 4H, 2'-H, 6'-H), 2.97 (d, J = 13.5 Hz; 1H, 5 $\beta$ -H).- MS (70 eV): m/z (rel. Int.) = 295 (43; M<sup>+</sup>), 294 (100; M - H)<sup>+</sup>.

#### 4-Amino-10-piperidino-5H-pyrimido[4,5-c]2-benzazepin (19c)

0.25 g (1 mmol) **17** und 0.43 g (5 mmol) Piperidin (**18c**) werden in 10 ml Ethanol 4 h unter Rückfluß erhitzt. Aufarbeitung wie **19a**, Variante A.- Ausb. 0.12 g (41%) farbloses, amorphes Pulver.- Schmp. > 300°C (DMF/H<sub>2</sub>O).- C<sub>17</sub>H<sub>19</sub>N<sub>5</sub> (293.4) Ber. C 69.6 H 6.53 N 23.8 Gef. C 69.3 H 6.08 N 22.7.- IR (KBr): 3342; 3167 (NH<sub>2</sub>); 2943; 2930; 2849 (CH<sub>2</sub>); 1668 (Amidin) cm<sup>-1</sup>.- UV (MeOH):  $\lambda$  max (lg  $\epsilon$ ) = 309 (4.34), 234 (sh; 4.45), 221 (sh; 4.50); Säureshift 325 (4.54), 254 (sh; 4.32), 236 (sh; 4.33), 222 (4.36) nm.- <sup>1</sup>H-NMR ([D<sub>6</sub>]DMSO):  $\delta$  (ppm) = 7.87 (s; 1H, 2-H), 7.80-7.34 (m; 4H, aromat.), 6.5 (s, br; 2H, NH<sub>2</sub>, D<sub>2</sub>O-Austausch), 3.87 (d, J = 14.5 Hz; 1H, 5 $\alpha$ -H), 3.5 (s, br; 4H, 2'-H, 6'-H), 2.91 (d, J = 14.5 Hz; 1H, 5 $\beta$ -H), 1.6 (s, br; 6H, 3'-H, 4'-H, 5'-H).- MS (70 eV): m/z (rel. Int.) = 293 (35; M<sup>+</sup>), 292 (100; M - H)<sup>+</sup>.

#### 4-Amino-5H-pyrimido[4,5-c]2-benzazepin-10(11H)-thion (20)

2.26 g (10 mmol) **16a** und 3.00 g (13.5 mmol) P<sub>2</sub>S<sub>5</sub> werden in 50 ml getrocknetem Pyridin 2.5 h unter Rückfluß erhitzt. Man engt die Lösung i.Vak. ein und versetzt den braunen, harzigen Rückstand unter Rühren mit 100 ml 10proz. Sodalösung. Es bildet sich ein gelber, amorpher Niederschlag, den man nach dem Abfiltrieren mit Wasser neutral wäscht und aus DMF/H<sub>2</sub>O umfällt.- Ausb. 0.23 g (95%) gelbes, amorphes Pulver.- Schmp. 298-299°C (DMF/H<sub>2</sub>O).- C<sub>12</sub>H<sub>10</sub>N<sub>4</sub>S (242.3) Ber. C 59.4 H 4.16 N 23.1 Gef. C 59.9 H 4.46 N 25.1.- IR (KBr): 3453; 3313; 3127 (NH<sub>2</sub>; NH); 2918 (CH<sub>2</sub>); 1651; 1562 (Thiolactam) cm<sup>-1</sup>.- UV (MeOH):  $\lambda$  max (lg  $\epsilon$ ) = 333 (4.03), 239 (4.11); Säureshift 343 (4.11), 269 (sh; 3.90), 248 (sh; 3.91) nm.- <sup>1</sup>H-NMR ([D<sub>6</sub>]DMSO):  $\delta$  (ppm) = 12.5 (s, br; 1H, NH, D<sub>2</sub>O-Austausch), 8.10 (s; 1H, 2-H), 7.93 (d, J = 7.5 Hz; 1H, 9-H), 7.48-7.28 (m; 3H, aromat.), 7.2 (s, br; 2H, NH<sub>2</sub>, D<sub>2</sub>O-Austausch), 3.67 (s; 2H, 5-H).- <sup>13</sup>C-NMR ([D<sub>6</sub>]DMSO):  $\delta$  (ppm) = 200.9 (C-10), 161.5 (C-4), 155.7 (C-11a), 154.5 (C-2), 138.9 (C-5a), 138.4 (C-9a), 132.7 (C-7), 132.2 (C-9), 126.6 (C-6), 126.2 (C-8), 107.2 (C-4a), 27.2 (C-5).- MS (70 eV): m/z (rel. Int.) = 242 (100; M<sup>+</sup>).

#### 4-Amino-10-(4-nitrobenzylthio)-5H-pyrimido[4,5-c]2-benzazepin (22)

Zu einer Lösung von 0.18 g (8 mmol) Natrium in 15 ml Ethanol gibt man 0.97 g (4 mmol) **20** und setzt eine Lösung von 0.69 g (4 mmol) 4-Nitrobenzylchlorid (**21**) in 10 ml Ethanol zu. Es wird 2 h unter Rückfluß erhitzt, die Lösung 5 h bei +2°C aufbewahrt und der ockerfarbene Nieder-

schlag abgesaugt. Man reinigt sc an KG (CHCl<sub>3</sub>/MeOH 9 + 1).- Ausb. 0.89 g (59%) gelbliches, amorphes Pulver.- Schmp. 250-251°C (DMF/H<sub>2</sub>O).- C<sub>19</sub>H<sub>15</sub>N<sub>5</sub>O<sub>2</sub>S (377.4) Ber. C 60.4 H 4.01 N 18.5 Gef. C 60.8 H 4.14 N 16.4.- IR (KBr): 3467; 3153 (NH<sub>2</sub>); 2930; 2852 (CH<sub>2</sub>); 1653; 1573 (Thiolactimether); 1553 cm<sup>-1</sup> (NO<sub>2</sub>).- UV (MeOH):  $\lambda$  max (lg  $\epsilon$ ) = 270 (4.56); Säureshift 326 (sh; 4.34), 272 nm (4.60).- <sup>1</sup>H-NMR (400 MHz, CDCl<sub>3</sub>):  $\delta$  (ppm) = 8.36 (s; 1H, 2-H), 8.19, 7.66 (AA', BB'; 4H, 3'-H, 5'-H, 2'-H, 6'-H), 7.73 (dd, J<sub>1</sub> = 8.0 Hz, J<sub>2</sub> = 1.5 Hz; 1H, 9-H), 7.49 (t, J<sub>1</sub> = J<sub>2</sub> = 8.0 Hz, J<sub>3</sub> = 1.5 Hz; 1H, 7-H), 7.36 (t, J<sub>1</sub> = J<sub>2</sub> = 8.0 Hz, J<sub>3</sub> = 1.5 Hz; 1H, 8-H), 7.28 (dd, J<sub>1</sub> = 8.0 Hz, J<sub>2</sub> = 1.5 Hz; 1H, 6-H), 5.1 (s, br; 2H, NH<sub>2</sub>, D<sub>2</sub>O-Austausch), 4.62 (s; 2H, SCH<sub>2</sub>), 3.40 (s; 2H, 5-H).- MS (70 eV): m/z (rel. Int.) = 377 (58; M<sup>+</sup>), 209 (100; M - SCH<sub>2</sub>C<sub>6</sub>H<sub>4</sub>NO<sub>2</sub>)<sup>+</sup>.

## Literatur

- 1 R. Troschütz, *Arch. Pharm. (Weinheim)* **1991**, *324*, 485-489.
- 2 E. Eichenberger, *Arzneim.-Forsch.* **1984**, *34*, 110-113.
- 3a G.S.F. Ruigt, B. Kemp, C.M. Groenhout, H.A.C. Kamphuisen, *Eur. J. Clin. Pharmacol.* **1990**, *38*, 551-554; *Chem. Abstr.* **1990**, *113*, 91358p.
- 3b M. Mattila, M.J. Mattila, M. Vrijmoed-deVries, T. Kuitunen, *Pharmacol. Toxicol.* **1989**, *65*, 81-88; *Chem. Abstr.* **1989**, *111*, 166806c.
- 4 E.L. Eliel, D.E. Rivard, *J. Org. Chem.* **1952**, *17*, 1252-1256.
- 5 E.C. Taylor, D.C. Palmer, T.J. George, S.R. Fletcher, C.P. Tseng, P.J. Harrington, *J. Org. Chem.* **1983**, *38*, 4852-4860.
- 6a E. Diez-Barra, A. de la Hoz, A. Moreno, P. Sanchez-Perdu, *Synthesis* **1989**, 391-393.
- 6b E. Diez-Barra, A. de la Hoz, A. Moreno, P. Sanchez-Perdu, *J. Chem. Soc. Perkin Trans. I* **1990**, 2589-2592.
- 7 C. Brown, M.V. Sargent, *J. Chem. Soc. (C)* **1969**, 1818-1820.
- 8 M.A. Weinberger, R.M. Heggie, H.L. Holmes, *Can. J. Chem.* **1965**, *43*, 2585-2593.
- 9 B. Gregory, W. Hinz, R.A. Jones, J. Sepulveda Arques, *J. Chem. Research (S)* **1984**, 311; *J. Chem. Research (M)* **1984**, 2801-2821.
- 10 L. Fuentes, A. Lorente, J.L. Soto, *J. Heterocycl. Chem.* **1979**, *16*, 273-276.
- 11 P. Victory, J. Diago, *Afinidad* **1978**, *35*, 161-165; *Chem. Abstr.* **1978**, *89*, 179515j.
- 12 F. Hunziker, E. Fischer, J. Schmutz, *Helv. Chim. Acta* **1967**, *50*, 1588-1599.
- 13 R. Chermat, B. Thierry, J.A. Mico, L. Steru, P. Simon, *J. Pharmacol.* **1986**, *17*, 348-350; *Chem. Abstr.* **1987**, *106*, 12213s.
- 14 M. Bourin, M. Poncelet, R. Chermat, P. Simon, *Arzneim.-Forsch.* **1983**, *33*, 1173-1176.
- 15 J.R. Boissier, P. Simon, *Arch. Int. Pharmacodyn.* **1965**, *158*, 212-221; *Chem. Abstr.* **1966**, *64*, 5640h.
- 16 C.H. Eugster, L. Leichner, E. Jenny, *Helv. Chim. Acta* **1963**, *57*, 543-572.
- 17a W. Ried, E. Köhler, *Liebigs Ann. Chem.* **1955**, 598, 145-148.
- 17b E. Matthews, D.G. Kugler, *J. Org. Chem.* **1960**, *25*, 266-268.
- 18 P. Kolsaker, K. Hellebostad, *Acta Chem. Scand. Ser. B* **1980**, *34*, 721-729.

[Ph111]